

VYSOKÁ ŠKOLA STROJNÍ A TEXTILNÍ V LIBERCI
NOSITELKA ŘÁDU PRÁCE

FAKULTA STROJNÍ

OBOR 23-40-8
ASR VP VE STROJÍRENSTVÍ

KATEDRA TECHNICKÉ KINEMATIKY

ALGORITMUS OPTIMIZACE

VYSOKÁ ŠKOLA STROJNÍ A TEXTILNÍ V LIBERCI
NOSITELKA ŘÁDU PRÁCE

PAKULTA STROJNÍ

OBOR 23-40-8
ASŘ VP VE STROJÍRENSTVÍ

KATEDRA TECHNICKÉ KYBERNETIKY

ALGORITMUS OPTIMÁLNÍHO SEŘIZENÍ STÁVAJÍCÍ ČÍSLICOVÉ
REGULACE VE DVOJICÍCH REGENERÁTOŘÍ

ALEXANDRA DRHOLCOVÁ

VEDOUCÍ PRÁCE: ING. JIŘÍ SVOBODA - VŠST LIBEREC
KTK ASŘ 044

ROZSAH PRÁCE A PŘÍLOH:

POČET STRAN	53
POČET OBRÁZEK	13
POČET TABULEK	3
POČET PŘÍLOH	-

LIBEREC, 27. 5. 1983

Vysoká škola: VŠST Liberec Fakulta: strojní
Katedra: technické kybernetiky Školní rok: 1982/83

ZADÁNÍ DIPLOMOVÉ PRÁCE

(PROJEKTU, UMĚleckého díla, UMĚleckého výkonu)

pro s. Alexandru Drholcovou

obor 23-40-8 Automatizované systémy řízení výrobních procesů
ve strojírenství

Vedoucí katedry Vám ve smyslu nařízení vlády ČSSR č. 90/1980 Sb., o státních závěrečných zkouškách a státních rigorózních zkouškách, určuje tuto diplomovou práci:

Název tématu: Algoritmus optimálního seřízení stávající číslicové
regulace ve dvojicích regenerátorů

Zásady pro vypracování:

- 1) Seznamte se s principem činnosti regenerátoru, se způsobem měření důležitých veličin a se způsobem ovládání těchto veličin.
- 2) Popište regenerátor vhodným modelem.
- 3) Navrhněte číslicový regulátor pro řízení regenerátoru metodou minimalizace kvadratického kritéria.
- 4) Podle možností ověřte navržený regulátor simulací na číslicovém počítači.

Autorské právo se řídí smlouvou
MŠK pro státní záv. zkoušky č.j. 31
727/62-III/2 ze dne 13. července
1962-Věstník MŠK XVIII, sešit 24 ze
dne 31. 8. 1966 s účet. č. 115/53 Sb.

VYSOKÁ ŠKOLA STROJNÍ A TEXTILNÍ
Ústřední knihovna
LIBEREC 1, STUDENTSKÁ 8
PSČ 461 17

Rozsah grafických prací:

Rozsah průvodní zprávy: 50 stran

Seznam odborné literatury:

1. Svoboda J.: Číslicové řízení spojitých technologických procesů;
Výzkumná zpráva KTK-0063, VŠST Liberec

Vedoucí diplomové práce:

Ing. Jiří Svoboda

Datum zadání diplomové práce:

7.10.1982

Termín odevzdání diplomové práce:

27.5.1983

Doc. Ing. Ján Alaxin, CSc.

Vedoucí katedry



Doc. RNDr Bohuslav Stríž, CSc.

Děkan

v Liberci dne 5.10.1982 19

Místopřísekmě prohlašuji, že jsem diplomovou práci vypracovala samostatně s použitím uvedené literatury.

V Liberci, dne 27. 5. 1983

Alena Duková

Obsah

	strana
1. Zadání	3
2. Úvod	6
3. Stav zařízení na dělení vzduchu	8
4. Popis číslicové regulace regenerátorů na zařízeních na dělení vzduchu N-35/91,92	10
4.1 Spojení řídících počítačů s měřicím a regulačním systémem zařízení na dělení vzduchu N-35/91,92	10
4.2 SS2 - Subsystém regulace výplotního režimu regenerátoru	10
4.2.1 Detailní popis funkce se sub-systémem SS2 - řízení tepla	13

4.2.2 Spojení řídícího stroje s zařízením na dělení vzduchu včetně návaznosti

Obsah	strana
1. Zadání	3
2. Úvod	6
3. Stav zařízení na dělení vzduchu	8
4. Popis číšlicové regulace regenerátorů na zařízeních na dělení vzduchu 35/91,92	10
4.1 Spojení řídících počítačů s měřicím a regulačním systémem zařízení na dělení vzduchu 35/91,92	
4.2 Detaileovaný popis práce se subsystémem regenerátorů v teplotním režimu	13
4.2.1 Detaileovaný popis práce se subsystémem SS2 - řízení teplotního režimu regenerátorů včetně návaznosti na přepínací stroj	13
4.2.2 Spolupráce regenerátorů, přepínacího stroje a řídícího počítače	15
4.2.3 Teplotové průběhy v regenerátozech	15
4.3 Princip činnosti	17
4.4 Řídící algoritmus	23
5. Vytvoření matematického modelu	28
5.1 Matematický model bez dopravního zpoždění a bez nedorekuperace	34
5.1.1. Výpočet k_S , k_T	34
5.2 Matematický model s dopravním zpožděním	37
5.2.1 Výpočet k_S , k_T s přihlédnutím k dopravnímu zpoždění	40
	41

	strana
5.3 Matematický model s nedorekuperací	43
6. Návrh číslicového regulátoru pro řízení regenerátoru metodou minimalizace kvadratického kritéria	45
6.1 Obecná část	45
6.2 Výpočet číslicového regulátoru	49
7. Ověření navrženého regulátoru simulací na číslicovém počítači	51
8. Závěr	52
Sesnam použité literatury	53

2. Úvod

Vývoj moderních počítačů související s rozvojem výpočetní techniky je jedním z nejmladších vědecko-technických oborů. U nás se začalo s výskumem v letech 1948-49, ale k využívání výpočetní techniky v praxi došlo až v druhé polovině padesátých let. Od té doby počet počítačů a jejich uživatelů rychle rostl. Na vysokých školách byly zřízeny samostatné studijní obory, v nichž se vychovávají odborníci zaměření na navrhování, konstrukci, údržbu a využívání výpočetních prostředků.

V závěrech XVI. sjezdu Komunistické strany Československa byl rozvoj elekttroniky a mikroelektroniky osnažen pro další období za otásku prveřadé důležitosti. S rozvojem elekttroniky a mikroelektroniky souvisí totiž technický vzestup všech dalších odvětví národního hospodářství a celé společnosti, všech oblastí lidské činnosti od průmyslu až po zdravotnictví, školství a kulturu. Již v uplynulém období bylo dosaženo výrazného pokroku ve výrobě výpočetní techniky a i nadále se při rozvoji všeobecného strojírenství má zvyšovat podíl výroby automatizovaných a automatických strojů a strojních systémů a v praxi vytvářet podmínky pro zavádění automatizovaných systémů řízení do výrobního procesu. Pro plnění rozhodujících úkolů v 7. pětiletce je nesbytný rychlý rozvoj elektrotechnického průmyslu, zejména mikroelektroniky a prostředků auto-

matizace. Tím se má soustavně zvyšovat užitná hodnota výrobků a technologií v rozhodujících odvětvích a oborech národního hospodářství, urychlovat růst produktivity práce a snižovat spotřebu energie a materiálů.

3. Stav zařízení na dělení vzduchu

Automatizovaný systém řízení technologických procesů /ASRTP/ Centrální kyslikárny Ostrava /CKO/ byl ve své původní podobě pouze souhrnem číšlicových regulátorů pro řízení chodu regenerativních výměníků tepla /regenerátorů/. Zajištění číšlicové regulace regenerátorů bylo nutné z důvodu, že v době návrhu a projektování zařízení na dělení vzduchu N-35/91,92 nebylo dostupné jiné zařízení a tato číšlicová regulace byla ověřena nasazením řídícího počítače Hewlett-Packard HP 2116C na zařízení na dělení vzduchu N-10/77 v Třineckých železárnách VRSR. Protože však je snaha co nejekonomičtěji využít používanou techniku -- řídící počítače, byly navrženy další funkce zvyšující účinnost systému, při poměrně malém zvýšení ceny.

Zahrnutím dalších funkcí ASRTP a jejich propojením vzniká první ASRTP kyslikárna. Celý systém ASRTP vzniká na základě iniciativy výrobce zařízení na dělení vzduchu národního pedníku Ferox Děčín, závod maršála Rybalka, kde byl celý systém navržen.

Základním prvkem CKO jsou dvě nízkotlaká zařízení na dělení vzduchu N-35/91,92 pracující metodou hlubokých teplot. Princip činnosti těchto zařízení spočívá v tom, že tlakový vzduch se postupně ochladí až na teplotu bodu varu a dvojnásobnou rektifikací v kolonách se rozdělí na komponenty. Tyto komponenty, tzv. produkty dělení, na

cestě se zařízení na dělení vzduchu oddebírají teplo protiproudne proudicimu vzduchu, který tím ochlazuje a o tlaku cca 1 kPa vystupuje ze zařízení. Většiné teplotní ztráty jsou kryty prací expanzních turbin.

Expanzní turbiny rovněž slouží k prechlazení celého zařízení. Jelikož zařízení pracuje se hluboce nízkých teplot /okolo -180°C/ jsou všechny funkční nádoby, potrubí i armatury vestavěny v izolačním krytu a zaizolovány izolační hmotou - perlitem.

Zařízení na dělení vzduchu typu N-35/91,92 je zařízení o výknu 1170 t/d /35 000 m³/h/ kyslíku o čistotě 85% O₂. Zařízení je venkovního provedení, tzn., že není vestavěno do budovy. Expanzní turbiny a převodníky měření a regulace jsou umístěny v budově v blízkosti dělicího zařízení. Vlastní měřící panel s ovládacím stolem a periferiemi počítačů pro styk s obsluhou /vždy 2 obrazovkové stanice HP 2645A a 1 mozaiková tiskárna HP 12987A/ jsou umístěny v centrální doserně vzdálené asi 40 a 60 metrů od dělicích zařízení. Pod centrální dosernou jsou umístěny dva počítače Hewlett-Packard HP 1000/XI a dvě průmyslové měřící a regulaci stanice HP 9611R mající svým technickým vybavením ASHPP CKO. Každý počítač se svojí měřící a regulaci stanici mají řídit chod svého dělicího zařízení včetně vzduchového turbokompreseoru pro pokladovanou produkci. V případě výpadku kterýkoliv z počítačů může zajistit chod celé Centrální kyslikárny Ostrava.

4. Popis číselicové regulace regenerátorů na zařízeních na dělení vzduchu N-35/91,92

4.1 Spojení řídících počítačů s měřicím a regulačním systémem zařízení na dělení vzduchu N-35/91,92

Zařízení na dělení vzduchu N-35/91,92 jsou vybavené počítačovým řídícím systémem řady Hewlett-Packard HP 1000/31 a HP 9611R-015. Řídící počítačový systém je ovládaný uživatelským softwarem OXY 2, který má zabezpečovat následující funkce:

- a/ regulaci teplotního režimu regenerativních výměníků tepla a jejich přepínáním
 - ve dvojicích změnou přepínací doby regenerátorů
 - mezi dvojicemi změnou průtoku vzduchu do jednotlivých dvojic regenerátorů /změna natačení vstupních klapek vzduchu/;
- b/ řízení chromatografu a signalizace mezních stavů koncentrací uhlovodíků, což zajišťuje bezpečnost provozu zařízení s hlediska koncentrací uhlovodíků;
- c/ sběr dat a výpis provozního protokolu v závislosti na reversacích regenerátorů;
- d/ vyhodnocení provozních protokolů za směny a den včetně bilancí a statistických veličin;
- e/ výpis chemických hodnot všech měřených analogových veličin;
- f/ v konverzačním režimu sledování na obrazovce obrazovkového terminálu některé nebo některých veličin procesu;

- g/ ukazování /respektive výpis/ reverzaci regenerátorů s teplotami středu všech regenerátorů;
 - h/ spracování výkazu sněnového /resp. denního/ odběru kyslíku do NHKG a do VZKG z Centrální kyslikárny Ostrava;
 - i/ statistické vyhodnocení základních veličin chodu zařízení ve volitelných obdobích /denní, měsíce, čtvrtletí, až do ročního vyhodnocení/.
- Vše uvedené funkce budou garantovány. V rámci dalších prací Feroru Děčín a VÚHŽ Dobrá budou řešeny další funkce systému:
- j/ optimalizace vstupního vzduchu pro požadované průtoky a koncentrace produktů;
 - k/ výroba nové spotřebou a výrobou kyslíku.

Na základě analýzy funkcí, které má ASRTP GKO zabezpečovat alespoň ohledem na předpokládanou programovou strukturu je celý systém ASRTP GKO nazván GXY 2 dekomponován do následujících osmi subistemů SSI-SS8:

SSI - subistem supervisora a monitoru fízení
zabezpečuje organizaci práce všech dále navazujících
subistemů.

SS2 - subistem regulace teplotního režimu regenerátorů
zabezpečuje body a, g

SS3 - subistem optimalizace vstupního vzduchu v závislosti na požadované kyslík
zabezpečuje body j, k

SS4 - subosystém řízení chromatografu

zabezpečuje bod b

SS5 - subosystém sběru dat, výpisu provozního protokolu

a okamžitých hodnot

zabezpečuje body c, e

SS6 - subosystém časového sledování veličin procesu na

obrazovce

zabezpečuje bod f

SS7 - subosystém směnového a denního vyhodnocení

zabezpečuje body d, h

SS8 - subosystém dlouhodobého vyhodnocení

zabezpečuje bod i

V rámci celého systému OXY 2 nelze chápát jednotlivé subosystémy jako uzavřené programové celky, ale jako celky, které řeší určité specifickou problematiku ASRTP CK9 s návazností na další subosystémy OXY 2.

4.2 SS2 - Subsystém regulace teplotního režimu regenerátorů

Regulace režimu regenerátorů se provádí těmito způsoby:

- 1/ ve dvojicích - změnou doby reverzace regenerátorů při zachování konstantní doby cyklu
- 2/ mezi dvojicemi - změnou průtoku vzduchu do jednotlivých dvojic dušíkových regenerátorů / ovládání klapek U21 a U22/
- 3/ u všech dvojic - změnou doby periody přepínání a cyklu

4.2.1 Detailní popis práce se subsystémem SS2 - řízení teplotního režimu regenerátorů včetně návaznosti na přepínačí stroj

Řízená technologie - regenerativní výměníky tepla - regenerátory.

Při regenerativní výměně tepla se uskutečňuje přestup tepla náplní, která v časovém období, jež nazýváme teplou periodou, akumuluje teplo vstupujícího vzduchu a v druhém období, jež nazýváme studenou periodou, toto teplo předává produktu dělení vzduchu. Aby se dosáhlo nepřetržité funkce výměny tepla je nutno radit alespoň dva regenerátory vedle sebe. V tomto sestavení vždy střídavě jedním regenerátem proudí vstupní vzduch, který se stykem s ně-

plní ochlazuje, přičemž zároveň ohřívá náplň a druhým regenerátorem protudí vystupující produkt dělení, který se stykem s náplní ohřívá, přičemž zároveň náplň ochlazuje. Studená a teplá perioda tvorí přepínací cyklus dvojice regenerátorů.

Z hlediska technologického, regenerátory jednak zabezpečují výměnu tepla a jednak čistí vzduch, neboť vodní pára a kysličník uhličitý obsažené ve vzduchu se usazují na náplni regenerátorů a při studené periodě jsou odváděny produkty dělení z regenerátorů.

Správná činnost regenerátorů je možná pouze tehdy, jestliže na teplém konci regenerátorů nedosahuje teplotní rozdíl /měřeny ve dvou po sobě následujících periodách/ mezi vstupním vzduchem a výstupním produktem dělení příliš velkých hodnot. Jinak je pochybné opětné odpaření vody nehledě ke strátě chladu. Podobně jestliže je teplotní rozdíl na studeném konci příliš velký, nemůže při studené periodě úplně sublimovat kysličník uhličitý a způsobuje zanášení regenerátorů. Aby se tedy dodržely správné podmínky chodu regenerátorů, je nutné přesně dodržovat poměr mezi vstupujícím vzduchem a vystupujícími produkty a to nejen mezi jednotlivými dvojicemi regenerátorů, ale i mezi regenerátory jednotlivých dvojic.

Chod regenerátorů je charakterizován jeho teplotním řešením, kterému přímo odpovídá rozdělení průtoku vzduchu na dvojice regenerátorů a na jednotlivé regenerátory.

Velmi přesným měřítkem pro rozdělení průtoku vzduchu je teplota na libovolném místě po dálce regenerátoru, nikoliv však bezprostředně u teplého nebo studeného konce. Nejvhodnějším měřicím místem je teplotní střed regenerátoru, kde měře teplota kolísá během jedné periody o 10°C až 50°C , má však v závislosti na čase přibližně lineární průběh a hodnota v určitém čase během periody je při ustáleném stavu vždy stejná. Jakmile se však poměr mezi průtoky vstupujícího vzduchu a vystupujícího produktu dělení jen nepatrně změní, mění se teplota v určitém místě regenerátoru velmi značně.

4.2.2 Spolupráce regenerátoru, přepínačního stroje a řídícího počítací

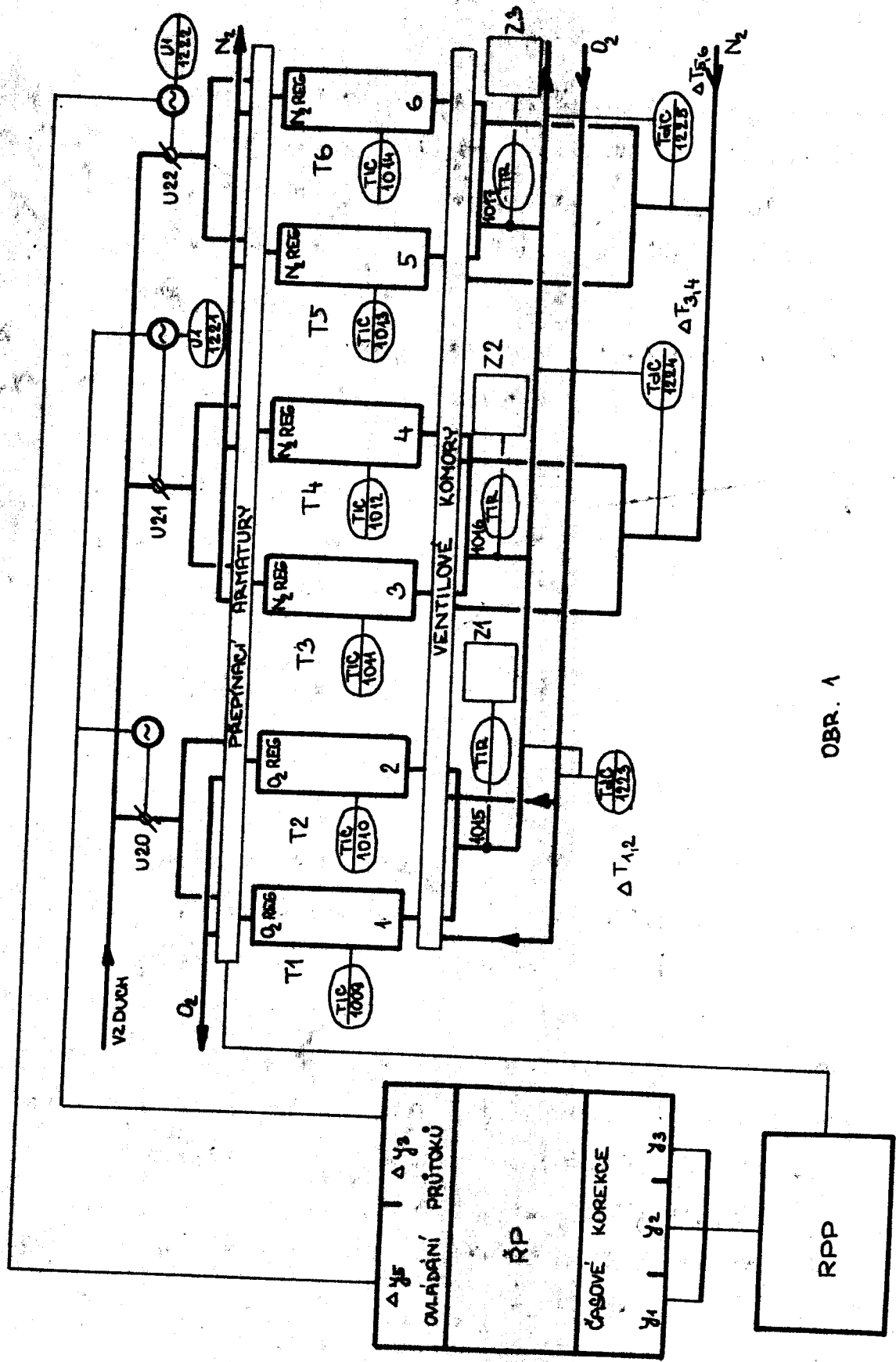
Z hlediska řízení spolupracují s regenerátory dva systémy a to přepínačí stroj a automatická regulace teploty zajištovaná řídícím počítáčem. Spolupráce všech částí je blokově znázorněna na obr. č. 1.

Pro účely řízení jsou regenerátory průběžně označeny čísleny 1 až 6. Střídání toků vzduchu a produktů je uskutečněno prostřednictvím přepínacích armatur na teplém konci regenerátoru, které jsou řízeny reverzibilním programovým přístrojem - RPP přepínačního stroje. Ventilové komory na studeném konci regenerátoru pracují automaticky. Regulovanou veličinou jsou teploty studených konců regenerátoru,

BLOKOVÉ SCHEMÁ ZÁKLADNÍ REGULACE PRO TŘÍ DVOJICE REGULATORŮ A RP

REGULACE PRO TŘÍ DVOJICE REGULATORŮ A RP

- 16 -



OBR. 1

kontrolované na zapisovacích Z1, Z2, Z3. Regulovaná veličina je snímána nepřímo jako teplota středu regenerátorů. Tyto teploty jsou označeny T1 až T6. Základní regulace teplot je provedena dvojím způsobem:

- a/ vyrovnaní teplot regenerátorů v jednotlivých dvojicích korekční dob period příslušné dvojice - regulace ve dvojicích
- b/ vyrovnaní teplot regenerátorů mezi dvojicemi rozdělením vstupního vzduchu na jednotlivé dvojice regulačními klapkami U21, U22 - regulace mezi dvojicemi.

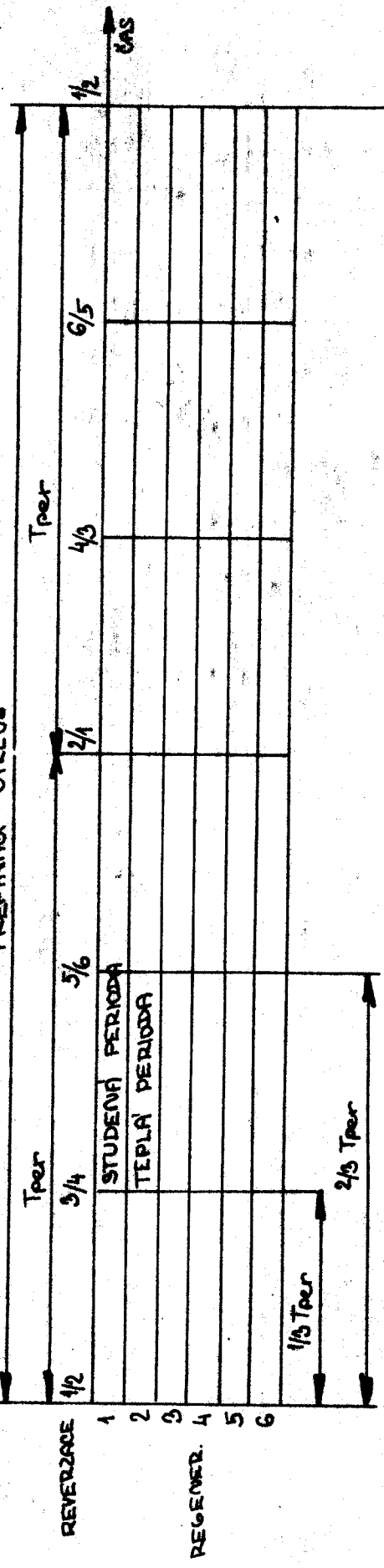
4.2.3 Teplotové průběhy v regenerátořech

Průběhy teplet v regenerátořech jsou obecně složitým funkční prostorem a času. Výklad regulace je založen na představě ideálních průběhů teplot středu regenerátorů, které jsou pro šest regenerátorů uvedeny na obrázku č. 2, včetně naznačení algoritmů realizovatelných řP, pro výpočet korekčního času regulace teplot ve dvojicích a pro výpočet natočení klapky regulace teplot mezi dvojicemi. Praktický příklad možného průběhu teploty středu regenerátoru je uveden na obrázku č. 3 a na obr. č. 4, kde je však zakreslen i krajně deformovaný průběh v důsledku špatné funkce regenerátoru a teploměru. Vývoj možné regulace teplot středu páru regenerátorů je informativně uveden na obr. č. 5. Na obr. 5 a/ je idealizovaný průběh bez

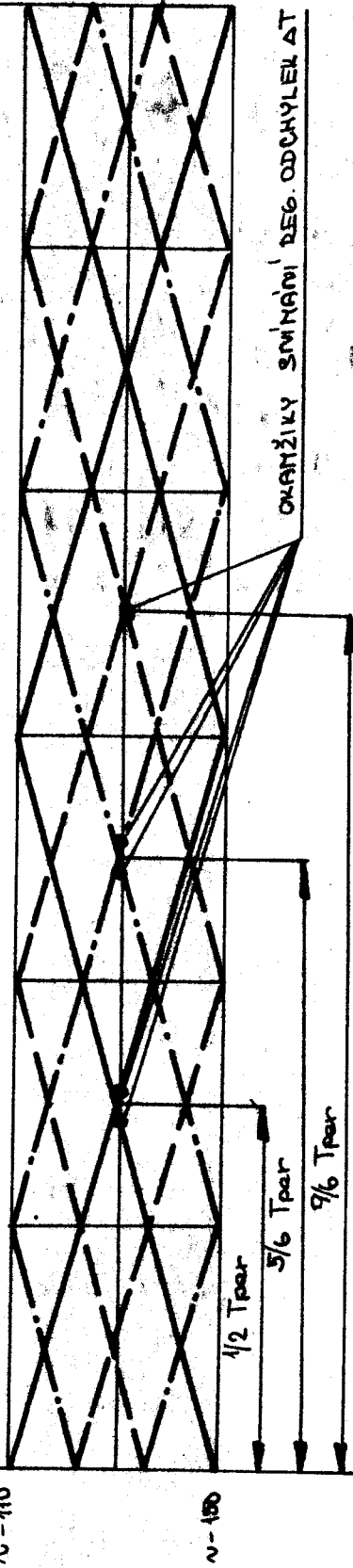
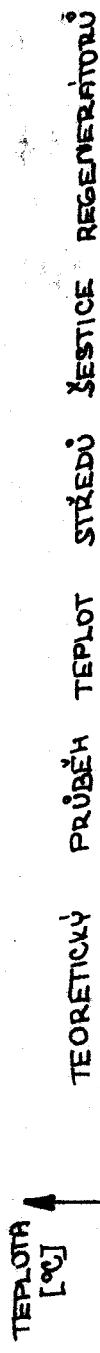
nedorokuperací obvykle užívaný k vyučetlení základní problematiky regulace regenerátorů. Na obr. 5 b/ je ideální lineární průběh teplet s nedorokuperacemi. Na obr. 5 c/ je běžný provozní průběh teplet. Na obr. 5 d/ až 5 f/ je znázorněn postupný průběh deformace průběhu teplet způsobený zanášením a regenerací tepletového čidla. Je zřejmé, že dochází k amplitudovým i fázovým posunům průběhu teploty -- příznaku špatné funkce resp. stavu regenerátorů. Regulace regenerátorů má zajistit optimální režim regenerátorů s výsledkem žádaného průběhu teplet na studených koncích regenerátorů a prodloužit co nejdéle provozní kampaně regenerátorů.

TEORETICKÉ PROBĚHNY TEPLOT STŘEDŮ ŽESTICE REGENERATORU, SNIŽENÍ REGULÁRNÍCH ODCHYEL

PŘEPINACÍ CYKLUS

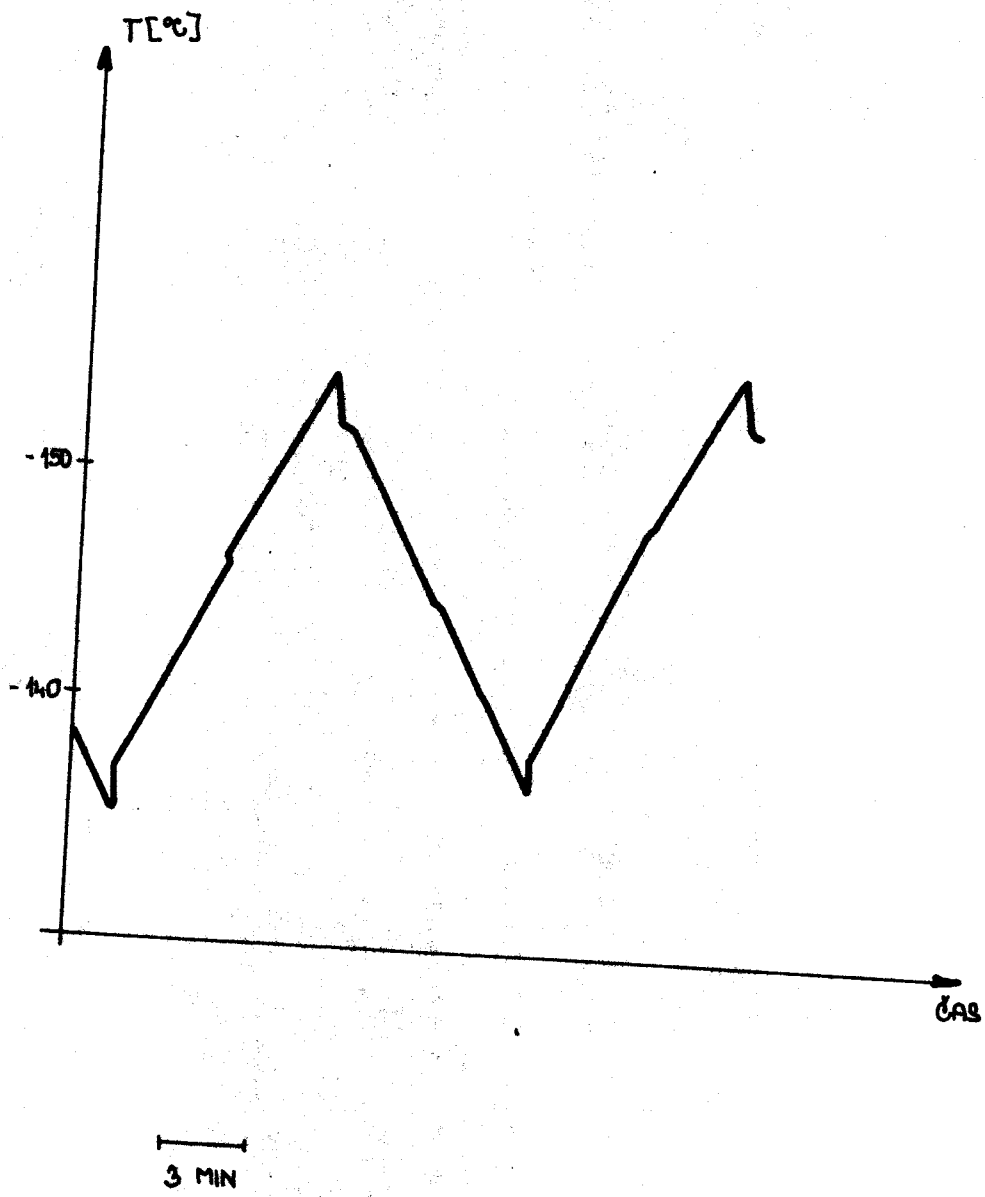


OBR. 2

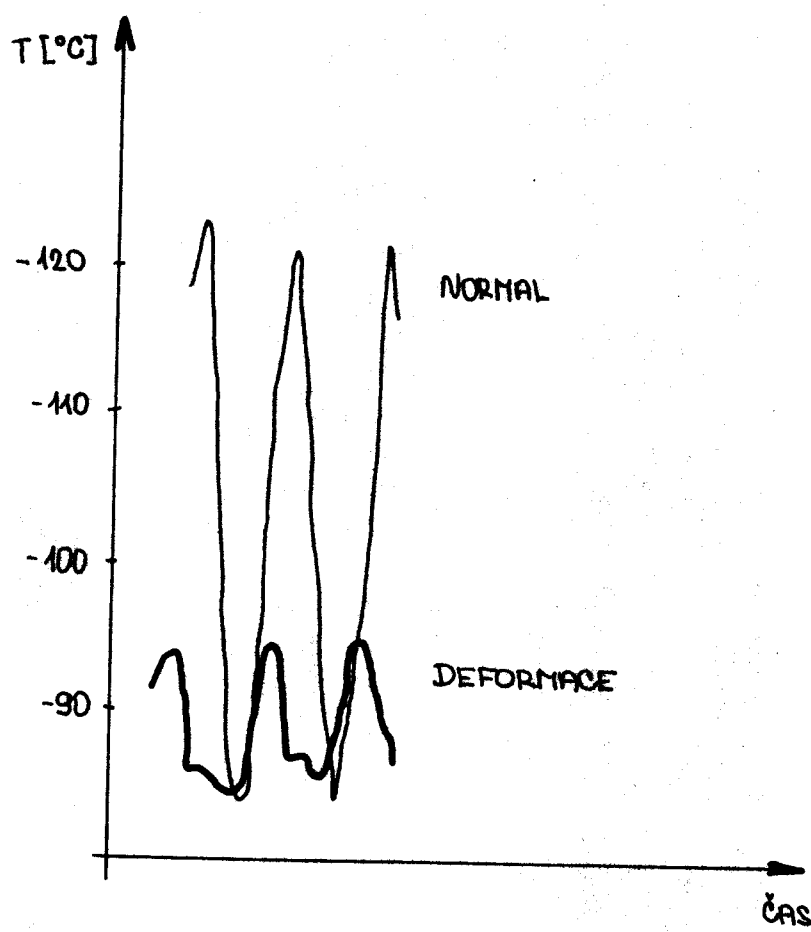


REGULACE	SEZNUTÍ AT V ČASE	ALGORITMUS VÝPOČTU AKČNÍHO ZÁSADU	CHARAKTER AKČNÍHO ZÁSADU	QUANTITA AKČNÍHO ZÁSADU
1:2	$\frac{1}{2}$ Tper	$y_1 = f(T_1, T_2, \Delta T_{12}, w_1, Tper)$	KONKVAČNÍ ZÁSAD DEY. REG. 1:2	PŘI REVERZACI 2/1
3:4	$\frac{5}{6}$ Tper	$y_2 = f(T_3, T_4, \Delta T_{34}, w_2, Tper)$	KONKVAČNÍ ZÁSAD DEY. REG. 3:4	PŘI REVERZACI 4/3
5:6	$\frac{9}{6}$ Tper	$y_5 = f(T_5, T_6, \Delta T_{56}, w_5, Tper)$	KONKVAČNÍ ZÁSAD DEY. REG. 5:6	PŘI REVERZACI 6/5

PŘÍKLAD SKUTEČNÉHO PRŮBĚHU TEPLITRY
STŘEDU REGENERATORŮ
(RÝCHLÝ TEPLOMĚR)

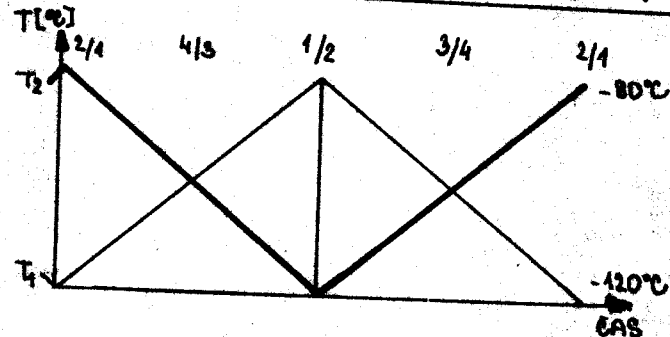


PŘÍKLAD SKUTEČNÉHO NORMÁLNÍHO
A DEFORMOVANÉHO PRŮBĚHU TEPLITRY
STŘEDU REGENERATORU
(RÝCHLÝ TEPLOMĚR)



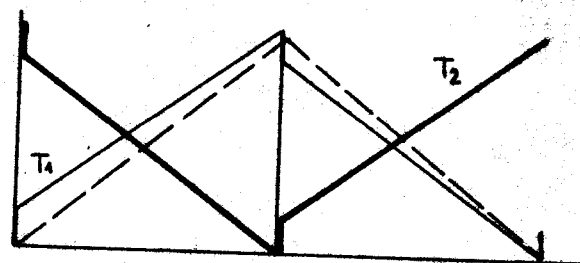
OBR. 4

VÝVOJ MOŽNÉ DEFORMACE TEPLOT STŘEDU REGENERATORU



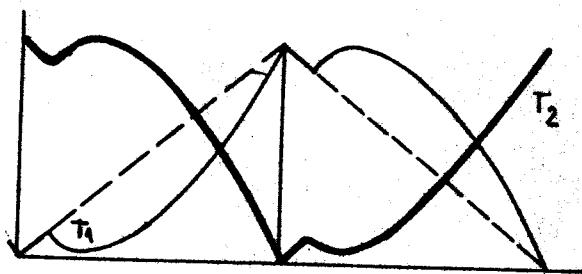
(a)

IDEALIZOVANÝ PRŮBĚH
BEZ NEDOREKUPERACÍ



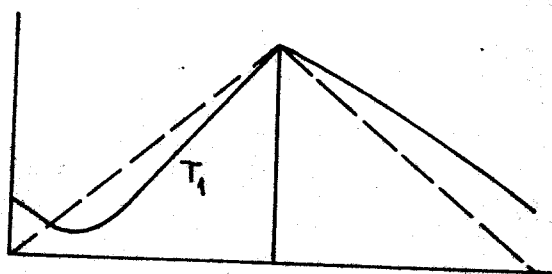
(b)

IDEÁLNÍ LINEÁRNÍ
PRŮBĚH S NEDOREKU-
PERACÍMI



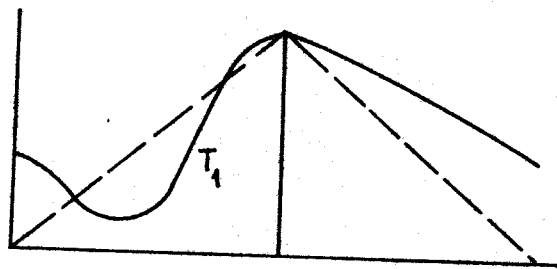
(c)

DĚŽNÝ PROVOZNÍ
PRŮBĚH

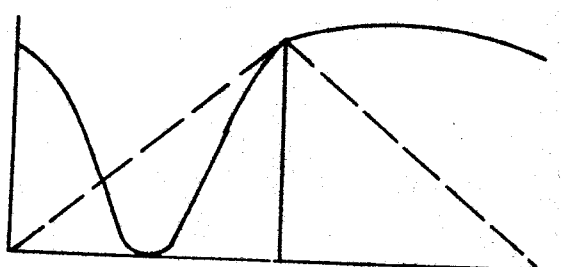


(d)

d/f
POSTUPNÝ PRŮBĚH
DEFORMACE



(e)



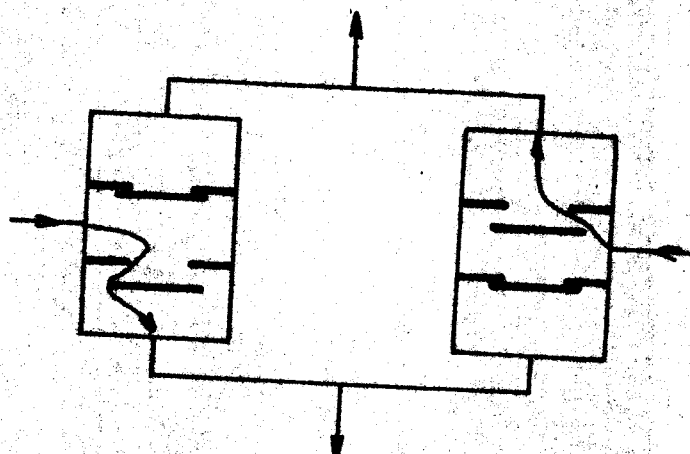
(f)

— T_1 def.
--- T_1 id.

4.3 Princip činnosti

Zařízení se skládá ze šesti dělicích bloků, které jsou uspořádány do tří dvojic. První a druhý výměník se nazývají kyslíkové, zbyvající jsou dusíkové. Ve dvojici vždy střídavě proudí jedním výměníkem vstupní vzduch, který se stykem s náplní ochlazuje, a druhým výměníkem vystupující produkt dělení /kyslík nebo dusík/, který se stykem s náplní ohřívá, a podle toho má výměník teplou nebo studenou periodu. Tyto periody tvorí přepínací cykly dvojice regenerátoru.

Vzduch vstupuje potrubím A_2 např. do výměníku ③ přes regulovatelnou klapku U_{21} tak, že ventily RV 8, RV 11, RV 12, RV 32 a klapka RV 9 jsou zavřeny a otevřen je pouze ventil RV 7. Ve výměníku vzduch odavzdává teplo náplni a sám se ochlazuje, tzn. výměník ③ má v této době teplou periodu. Z výměníku vzduch proudí do ventilevých komer,



OBR.6

které pracují na základě rozdílu tlaků. To způsobí uzavření některých záklopek ve ventilové komoře a vzduch proudí dále výstupním potrubím do dělící části.

Z dělící části vychází produkt dělení, v tomto případě N_2 , a vstupuje do druhé ventilové komory a odtud do výměníku tepla ④. Zde produkt dělení odebírá teplo náplni a otepluje se, tzn. výměník tepla ④ je ve studené periodě. Je otevřena klapka RV 10 a produkt dělení odchází výstupním potrubím surového dusíku.

Délka periody je asi 12 - 15 minut a po této době dojde k přepnutí dvojice regenerátorů. Toto přepnutí trvá 10 - 15 sekund a probíhá tak, že nejprve se uzavřou všechny ventily a klapky. Nyní je tlak ve výměníku ③ asi 0,6 MPa a ve výměníku ④ 0,12 MPa. To je příliš velký rozdíl, který by způsoboval nadkritickou rychlosť, a proto musí nejprve dojít k vyrovnání tlaků. Na dobu 2 - 3 sekund se otevře přepouštěcí ventil RV 11 a tím se tlaky vyrovnají na 0,35 MPa. Tím se ale smíchá produkt dělení se vzduchem a znečistí se tím. Po dobu 30 sekund odchází znečištěný produkt dělení potrubím E₁, které slouží pro odfuk do atmosféry.

Po ukončení přepínání proudí v další periodě do výměníku ④ vzduch a výměník ④ má teplou periodu, výměník ③ je naopak ve studené periodě.

Princip činnosti regenerátorů je zřejmý z obrázků č. 7 a 8, kde je použito toto označení:

R 1 až R 6 regenerativní výměníky tepla

VK 1 až VK 6 ventilové komory

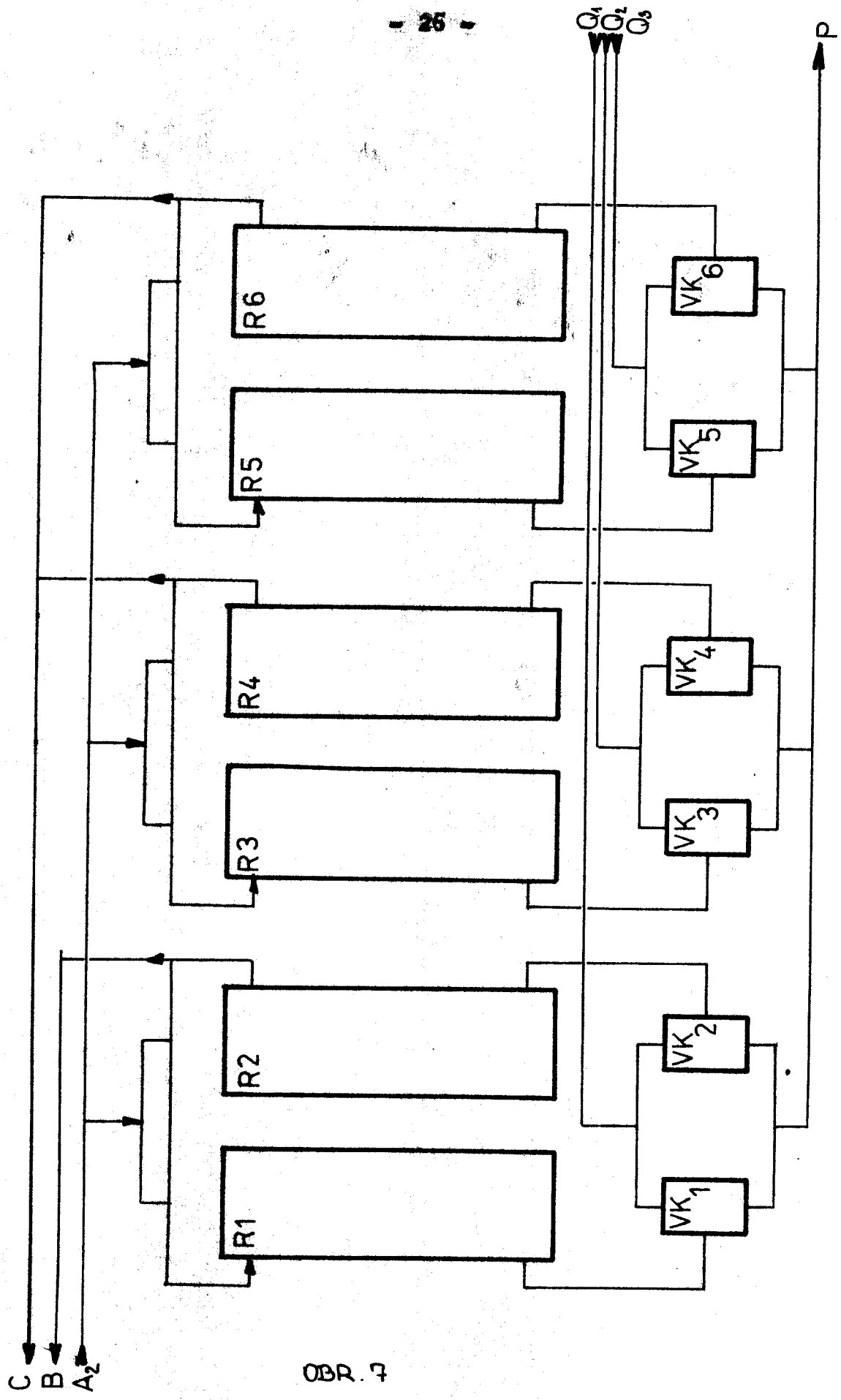
A₂ vstup vzduchu

B výstup technologického kyslíku

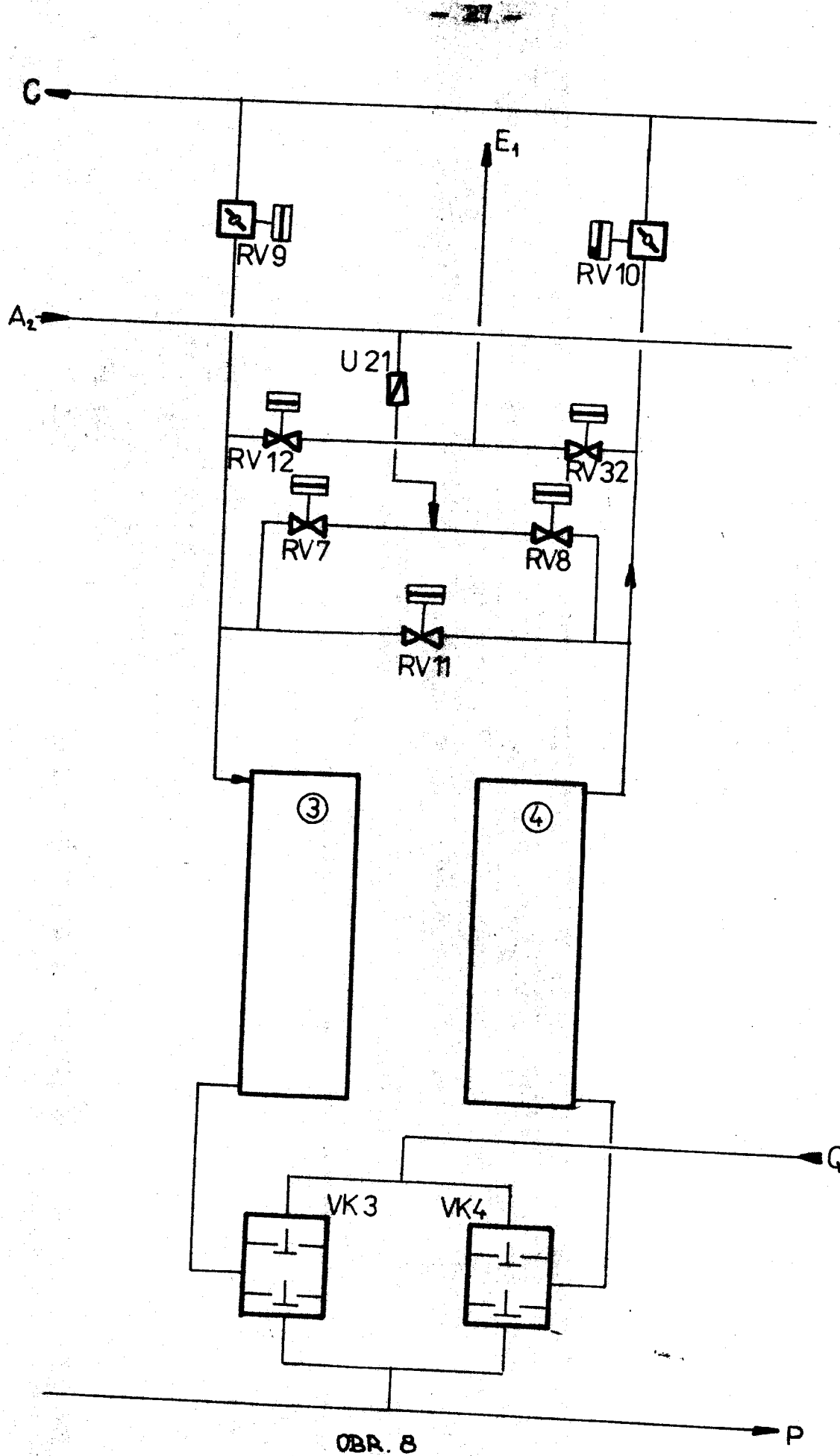
C výstup surového dusíku

P výstup vzduchu do dělící části

Q₁ až Q₃ vstup produktu dělení z dělící části



OBR. 7



4.4 Řídící algoritmus

Regulace regenerátorů ve dvojicích se provádí na základě porovnání rozdílu teplot ve středech příslušné dvojice regenerátorů s žádanou hodnotou. Na základě porovnání vzniklá regulační odchylka se použije pro výpočet ko-rekčního času. O tento čas se ve smyslu regulační odchylky prodlouží nebo zkrátí korigovaná doba periody příslušné dvojice regenerátorů. Akční veličinou je čas, o který se posune každá druhá reverzace příslušné dvojice regenerátorů / 2/1, 4/3, 6/5 /.

Na základě konverzace se subsvystémem SS2 nemusí být žádaná hodnota rozdílu zadávána, ale je určována subsvystémem SS2 tak, aby maximální teplotní diference na studených koncích regenerátorů ve dvojicích byly stejné.

Změření, převedení na fyzikální jednotky, kontrola s měremi teplot středu regenerátorů a porovnání rozdílu teplot se provádí v přesně časově určených okamžicích. Průběžná měření pro výpočet integrální regulační odchylky se provádí od předešlého výpočtu korekce času v stejných intervalech vzorkování, které je možno měnit konverzačním systémem. Základní vzorkovací interval musí být takový, aby počet vzorků v cyklu byl dělitelný šesti, tzn., že začátek i konec vzorkování pro daný cyklus musí být shodný s okamžikem výpočtu akčního zásahu.

Vlastní výpočet akčního zásahu se provádí podle rov-

nice (1) a to pro jednotlivé dvojice regenerátorů takto:

- 1/ Pro dvojici regenerátorů 1 - 2 v čase $\frac{T_{per}}{2}$ po počátku doba periody v sec/ po počátku reverzace 1/2
- 2/ Pro dvojici regenerátorů 3 - 4 v čase $\frac{5T_{per}}{6}$ po počátku reverzace 1/2
- 3/ Pro dvojici regenerátorů 5 - 6 v čase $\frac{7T_{per}}{6}$ po počátku reverzace 1/2

V případě, že je regulace příslušné dvojice vypnuta nebo je jedna z teplet středu regenerátorů či teplotní diference na studeném konci příslušné dvojice mimo měře je korekční čas nulový.

ení-li regulace příslušné dvojice vypnuta a teploměry jsou v pořádku, provede se výpočet korekčního času podle rovnice:

$$y_i = T_{per} \left\{ r_{oi} \cdot \left[T_i(T_c) - T_{i+1}(T_c) - w_i \right] + \right. \\ \left. + r_{oi} \int_0^{T_c} \left[T_i(\tau) - T_{i+1}(\tau) - w_i \right] \cdot d\tau \right\} \quad (1)$$

$i = 1, 3, 5$ pro výpočet skórního zásahu - korekce reverzace
 $(i+1)/i$ příslušné regenerátorové dvojice

Dle jednotlivé veličiny značí:

y_i [sec] skórní veličina - korekční čas regenerátorové dvojice $i, (i+1)$

kladná hodnota y_i prodlužuje čas příslušné korigované reverzace

T_{per} [sec] doba periody

$r_{0i} [(\text{ }^{\circ}\text{C})^{-1}]$ preoperacioní zosilení pro i, (i + 1) dvojice regenerátoru

$r_{1i} [(\text{ }^{\circ}\text{C})^{-1}]$ zosilení integrální části pro i, (i + 1) dvojice regenerátoru

$w_i [\text{ }^{\circ}\text{C}]$ žádaná hodnota rozdílu teplot pro i, (i + 1) dvojice regenerátoru
kladná hodnota značí, že regenerátor i se žádá teplejší než (i + 1) regenerátor

$t [\text{sec}]$ průběžný čas měřeny od předchozího výpočtu akčního sázku

$T_c [\text{sec}]$ čas výpočtu akčního sázku měřený od předchozího výpočtu, mělo by platit
 $T_c = T_{per}$

$T_i(\tau) [\text{ }^{\circ}\text{C}]$ teplota středu i-tého regenerátoru v čase τ

$T_{i+1}(\tau) [\text{ }^{\circ}\text{C}]$ teplota středu (i + 1)-tého regenerátoru v čase τ

Na základě konverzace se subsvstemem SS2 je možné nezádávat žádané hodnoty w_i a pak jsou tyto systémem určovány pro každý výpočet w_i z hodnot posledních čtyř maximálních teplotních diferencí na studených konecích regenerátorové dvojice, takže aby tyto maximální teplotní diference byly stejné /např. pro regenerátorovou dvojici (1 + 2) jsou maximální teplotní diference při reverzacích 1/2 a 2/1/.

Z výše uvedeného plyne:

$$\omega_i = r_{WCi} \cdot (\Delta T_{i+1} - \Delta T_i) + r_{WCpi} \cdot (\Delta T_{pi+1} - \Delta T_{pi}) \quad (2)$$

pro $i = 1, 3, 5$, kde

r_{WCi} [1] konstanta zesílení vazby mezi max. teplotními diferencemi a žádanou hodnotou ω_i pro poslední reverzace

r_{WCpi} [1] konstanta zesílení vazby mezi max. teplotními diferencemi a žádanou hodnotou ω_i pro předposlední reverzace

ΔT_{i+1} [$^{\circ}\text{C}$] maximální teplotní diference na studeném konci regenerátorové dvojice i , $(i+1)$ při poslední reverzaci $(i+1)/i$

ΔT_i [$^{\circ}\text{C}$] max. teplotní diference na studeném konci regenerátorové dvojice i , $(i+1)$ při poslední reverzaci $i/(i+1)$

ΔT_{pi+1} [$^{\circ}\text{C}$] max. teplotní diference na studeném konci regenerátorové dvojice i , $(i+1)$ při předposlední reverzaci $(i+1)/i$

ΔT_{pi} [$^{\circ}\text{C}$] max. teplotní diference na studeném konci regenerátorové dvojice i , $(i+1)$ při předposlední reverzaci $i/(i+1)$

Pro počáteční nastavení systému OXY 2 jsou počáteční hodnoty určeny takto:

$$T_{per} = 720 \text{ [sro]}$$

$$r_{oi} = 0,025 \text{ [$^{\circ}\text{C}$] $^{-1}$]$$

$$r_{-1i} = 0,02 \left[(\text{ }^{\circ}\text{C})^{-1} \right]$$

$$\omega_i = 0 \left[(\text{ }^{\circ}\text{C}) \right]$$

$$r_{WCi} = 0,5 [1]$$

$$r_{WC\dot{P}_i} = 0,5 [1] \quad \text{pro } i = 1, 2, 3$$

Po výpočtu korekce času korigované periody se kontroluje tato s mezi, která je $\pm \frac{1}{3} T_{per}$. V případě korekce v absolutní hodnotě větší než je dovolená mezi dosazuje se tato mezi s příslušným znaménkem.

Pro běžné užití jsou doporučeny následující rozsahy volitelných hodnot a tyto jsou programově hlídány:

$$T_{per} \in < 360 ; 1000 >$$

$$r_{oi} \in < 0,006 ; 0,5 >$$

$$r_{-1i} \in < 0,006 ; 1 >$$

$$\omega_i \in < 20 ; 20 >$$

$$r_{WCi} \in < 0,01 ; 10 >$$

$$r_{WC\dot{P}_i} \in < 0,01 ; 10 >$$

V případě, že parametr r_{WCi} je zadán v TODZ záporný, je pro příslušnou dvojici operátorský přerušena vazba na studené konec regenerátorů.

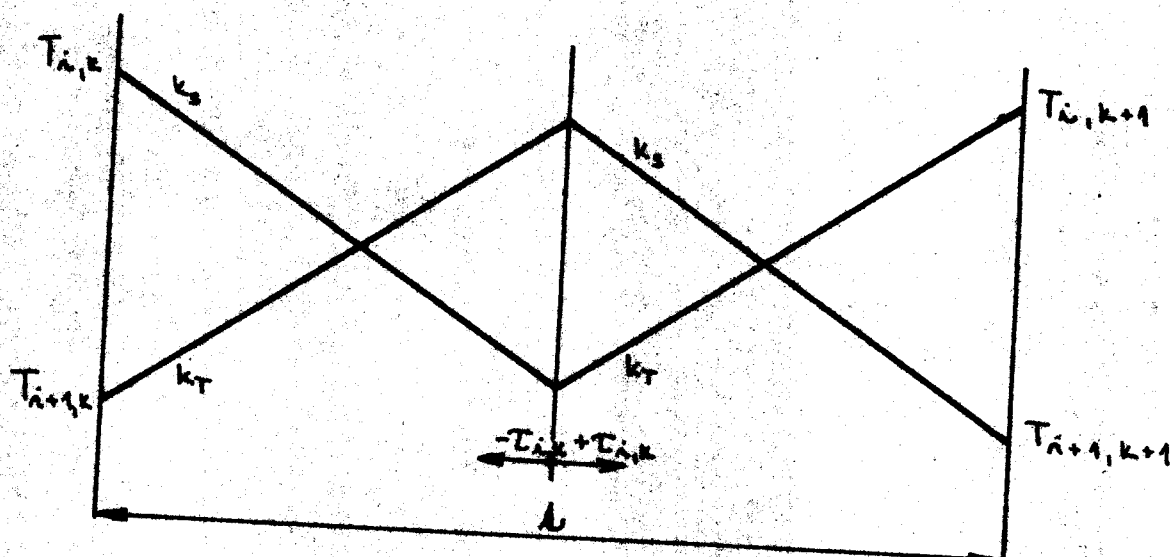
Na nákladě vykádání přes konverzadní režim subsystému SS2 je možné provádět tisk parametrů regulace dané dvojice regenerátorů v pořadí: název regulované dvojice, zadaná hodnota, proporcionalní zesílení, zesílení integrační části, teploty středu regenerátorů příslušné dvojice v čase T_c , hodnota integrálu rovnice (1), korekční čas v sec, poslední dvě teplotní diference na studených kon-

cích regenerátorové dvojice, konstanty zesílení vazby na
zadanou hodnotu, interval vzorkování v sec, přepínací pe-
rioda v sec.

5. Vytvoření matematického modelu

5.1 Matematický model bez dopravního zpoždění a bez medorekuperace

Pokud provedeme zjednodušení takové, že délku regenerátoru považujeme za nekonečně dlouhou a u náplně předpokládáme, že je v ní minimální vedení tepla po délce, je matematický model následující:



OBR. 10

$i = 1, 3, 5$

k_s - směrnice pro studenou periodu

k_T - směrnice pro teplou periodu

λ - délka cyklu

$T_{A,k}$ - posuv přepínání / kladný ve smyslu prodloužení první části cyklu/

$T_{L,k}$ - teplota tekutiny

Index i označuje číslo regenerátoru a index k označuje

okamžik nekorigovaného přepnutí.

Přemýšlejme se sestavou s rozloženými parametry, kterou si nahrazujeme sestavou se soustředěnými parametry s náhradním bodem v místě odběru.

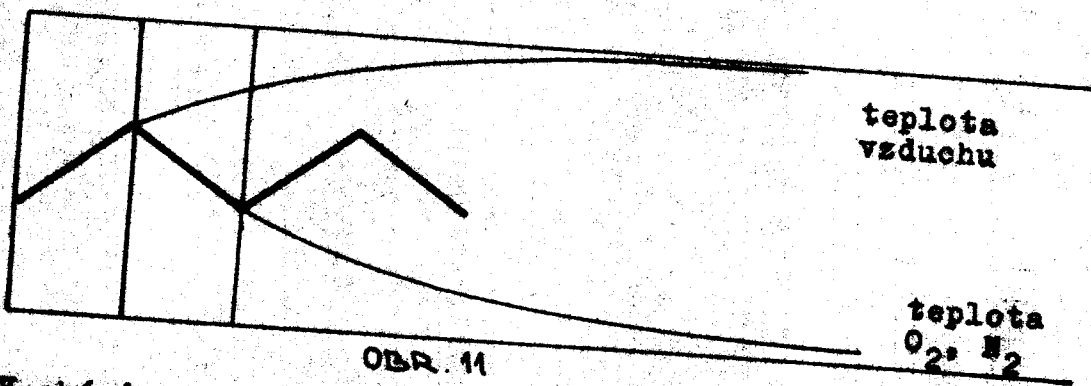
Pokud předpokládáme ideální stav, tzn. že výměník tepla je dokonalý a má nekonečnou dlouhou dobu přepnutí, pak je nedorekuperace nulevá, a proto ji v prvním matematickém modelu neuvažujeme.

Směrnice k_3, k_4 jsou určeny:

1. rozdílem teplot

2. časovou konstantou zařízení

Odeahnání přechodového procesu nebereme v úvahu, neboť doba cyklu je relativně malá a bereme jen lineární část přechodové charakteristiky, tzn. provádime approximaci lineární funkcí.



OBR. 11

Vycházíme z toho, že jak fyzikální parametry náplně všech regenerátorů, tak doba cyklu je stejná. Protože teploty produktů v obou periodách jsou přibližně stejné /liší se jen o 1 - 2%, zavedeme předpoklad, že časová konstanta výměníku je stejná v obou částech cyklu.

Dalším předpokladem je, že směrnice k_s v sobě zahrnuje záporné známénko, směrnice k_T kladné známénko.

Jsou dány známé hodnoty teplot plynů $T_{i,k}$, $T_{i+1,k}$ a určujeme teploty plynů $T_{i,k+1}$, $T_{i+1,k+1}$ po uplynutí jedné doby cyklu t .

$$T_{i,k+1} = T_{i,k} + \left(\frac{1}{2} + \tau_{ik}\right) k_s + \left(\frac{1}{2} - \tau_{ik}\right) k_T$$

$$T_{i+1,k+1} = T_{i+1,k} + \left(\frac{1}{2} + \tau_{ik}\right) k_T + \left(\frac{1}{2} - \tau_{ik}\right) k_s$$

Akční veličinou je odchylka τ od střední polohy cyklu,
kdy obě periody jsou shodné.

$$\tau = 1,3,5$$

$$E_{i,k} = T_{i,k} - T_{i+1,k}$$

$$E_{i,k+1} = T_{i,k+1} - T_{i+1,k+1}$$

$$E_{i,k+1} = \underbrace{T_{i,k} - T_{i+1,k}}_{E_{i,k}} + \left(\frac{1}{2} + \tau_{ik}\right) (k_s - k_T) + \\ + \left(\frac{1}{2} - \tau_{ik}\right) (k_T - k_s)$$

$$E_{i,k+1} = E_{i,k} + \frac{1}{2} k_s + \tau_{ik} k_s - \frac{1}{2} k_T - \tau_{ik} k_T + \\ + \frac{1}{2} k_T - \tau_{ik} k_T - \frac{1}{2} k_s + \tau_{ik} k_s$$

$$E_{i,k+1} = E_{i,k} + 2\tau_{ik} k_s - 2\tau_{ik} k_T$$

$$E_{i,k+1} = E_{i,k} + 2\tau_{ik} (k_s - k_T)$$

Pomocný odhad matematického modelu je tedy následující:

$$E_{i,k+1} = E_{i,k} + 2\tau_{ik} (k_s - k_T)$$

5.1.1 Výpočet k_s , k_T

Hodnoty k_s , k_T je možné určovat buď průběžnou identifikací nebo určovat z grafu, který byl sestrojen na základě naměřených hodnot. Můžeme předpokládat, že směrnice k_s , k_T se v průběhu nemění. To je stejně z následujících tabulek.

U směrnice k_s bychom měli uvažovat záporné znaménko, neboť přímka je klesající. Při vytvoření matematického modelu, ale na to byl brán ohled úměrou, proto ji můžeme považovat za kladnou.

Výpočet konstant k_s , k_T pro 1. dvojici regenerátorů:

CAS PREPNUTI'	k_s	k_T
8. 42. 32	0,4	0,424
8. 59. 32	0,4	0,42
9. 16. 10	0,412	0,436
9. 32. 40	0,42	0,4
9. 49. 10	0,387	0,42
10. 05. 40	0,412	0,387
10. 22. 10	0,36	0,412

TAB. 1

Průměrné hodnoty směrnic a v grafu jim odpovídající úhly stoupání /klesání/ jsou:

$$\bar{k}_s = 0,399985$$

$$\bar{k}_T = 0,414125$$

$$\alpha = 21^\circ 48'$$

$$\beta = 22^\circ 29'$$

- 38 -

Dvojice kyslíkových regenerátorů je rozměrově odlišná od dusíkových regenerátorů, proto hodnota směrnic k_S , k_T a úhlu stoupání je u nich také odlišný.

Výpočet směrnic k_S , k_T pro 2. dvojici regenerátorů:

CAS PREPNUTÍ	k_S	k_T
8. 48. 32	1,259	1,344
9. 05. 33	1,284	1,309
9. 22. 02	1,248	1,345
9. 38. 32	1,284	1,248
9. 55. 02	1,280	1,345
10. 11. 32	1,3	1,286
10. 28. 02	1,29	1,309

$$\bar{k}_S = 1,296963$$

$$\alpha = 52^\circ 22'$$

$$\bar{k}_T = 1,298986$$

$$\beta = 52^\circ 24'$$

TAB. 2

Výpočet směrnic k_S , k_T pro 3. dvojici regenerátorů:

CAS PREPNUTÍ	k_S	k_T
8. 53. 32	1,259	1,247
9. 10. 33	1,24	1,359
9. 29. 02	1,286	1,248
9. 43. 32	1,236	1,21
10. 00. 02	1,2	1,21
10. 16. 32	1,236	1,189

$$\bar{k}_S = 1,23636$$

$$\alpha = 51^\circ 02'$$

$$\bar{k}_T = 1,2436$$

$$\beta = 51^\circ 12'$$

TAB. 3

$$T_{i+1,k+1} = T_{i+1,k} + \left(\frac{1}{2} - T_D + \tau_{ik} \right) k_T + \left(\frac{1}{2} - T_D - \tau_{ik} \right) k_S$$
$$i = 1, 3, 5$$

$$E_{i,k} = T_{i,k} - T_{i+1,k}$$

$$E_{i,k+1} = T_{i,k+1} - T_{i+1,k+1}$$

$$T_{i,k+1} = T_{i+1,k+1} = T_{i,k} - T_{i+1,k} +$$
$$+ k_S \left(\frac{1}{2} - T_D + \tau_{ik} - \frac{1}{2} + T_D + \tau_{ik} \right) +$$
$$+ k_T \left(\frac{1}{2} - T_D - \tau_{ik} - \frac{1}{2} + T_D - \tau_{ik} \right)$$

$$E_{i,k+1} = E_{i,k} + 2\tau_{ik} k_S - 2\tau_{ik} k_T$$

$$E_{i,k+1} = E_{i,k} + 2\tau_{ik} (k_S - k_T)$$

Smy pracujeme s tímto matematickým modelem:

$$E_{i,k+1} = E_{i,k} + 2\tau_{ik} (k_S - k_T)$$

Tento model je shodný s modelem odvozeným v části 5.1 a z toho tedy vyplývá, že dopravní spoždění T_D neovlivní hodnoty konečných teplot.

5.2.1 Výpočet k_S , k_T s přihlédnutím k dopravnímu spoždění

Hodnoty k_S , k_T jsme určovali s grafu, ze kterého jsme nejprve odhadem získali hodnotu dopravního spoždění T_D . T_D je přibližně 60 sekund/. Směrnice k_S , k_T se tímto výpočtem změní, protože pro jejich výpočet se vychází z jiných hodnot.

Průměrné hodnoty směrnic a jim odpovídající úhly jsou:

1. dvojice

$$k_S = 0,4286$$

$$\alpha = 23^\circ 11'$$

$$k_T = 0,4429$$

$$\beta = 23^\circ 53'$$

2. dvojice

$$k_S = 1,3343$$

$$\alpha = 53^\circ 09'$$

$$k_T = 1,3714$$

$$\beta = 53^\circ 54'$$

3. dvojice

$$k_S = 1,3$$

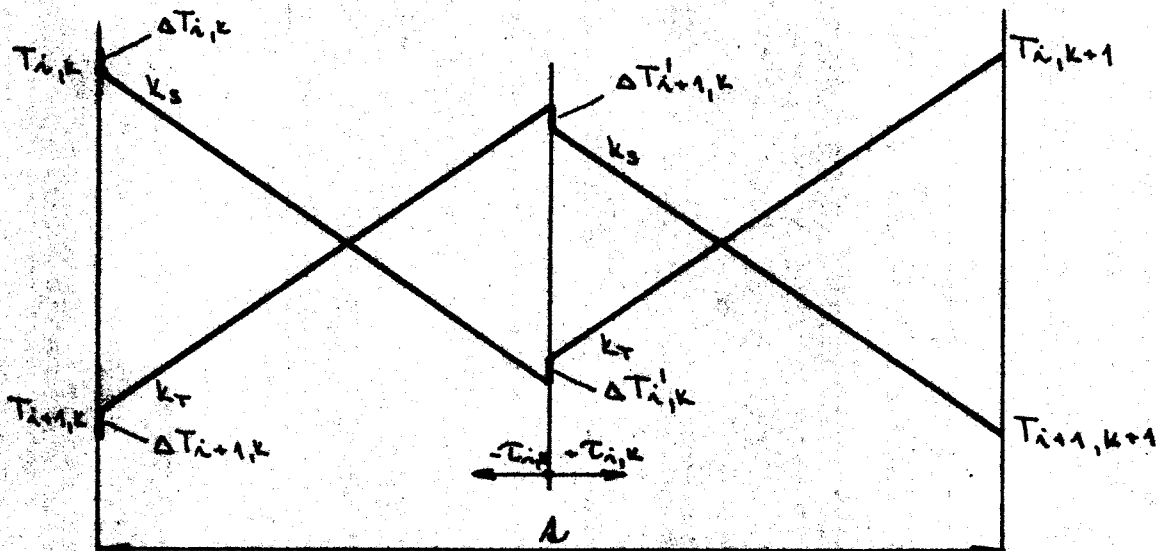
$$\alpha = 52^\circ 25'$$

$$k_T = 1,3143$$

$$\beta = 52^\circ 43'$$

5.3 Matematický model s nedorekuperací

Nedorekuperací se rozumí rozdíl teplot v daném místě regenerátoru mezi průměrnou teplotou s teplé periodě a průměrnou teplotou ve studené periodě. V bodech přepnutí studené a teplé periody se nedorekuperace projevuje tím, že tam není plynulý přechod, ale vždy je tam skok, který plyně z principu výměny tepla.



OBR. 13

Oznámení je analogické značení v části 5.1.

$\Delta T_{i,k}$ - rozdíl teploty způsobený nedorekuperací

$$T_{i,k+1} = T_{i,k} + \left(\frac{1}{2} + \tau_{i,k} \right) k_s + \left(\frac{1}{2} - \tau_{i,k} \right) k_T - \\ - \Delta T_{i,k} + \Delta T_{i,k}^1$$

$$T_{i+1,k+1} = T_{i+1,k} + \left(\frac{1}{2} + \tau_{i,k} \right) k_T + \left(\frac{1}{2} - \tau_{i,k} \right) k_s + \\ + \Delta T_{i+1,k} - \Delta T_{i+1,k}^1$$

$$E_{i,k} = T_{i,k} - T_{i+1,k}$$

$$E_{i,k+1} = T_{i,k+1} - T_{i+1,k+1}$$

$$E_{i,k+1} = T_{i,k} - T_{i+1,k} + \left(\frac{1}{2} + \tau_{ik}\right)(k_s - k_T) + \\ + \left(\frac{1}{2} - \tau_{ik}\right)(k_T - k_s) - \Delta T_{i,k} + \Delta T_{i,k}' - \Delta T_{i+1,k} + \Delta T_{i+1,k}'$$

$$E_{i,k+1} = E_{i,k} + \frac{1}{2} k_s + \tau_{ik} k_s - \frac{1}{2} k_T - \tau_{ik} k_T + \\ + \frac{1}{2} k_T - \tau_{ik} k_T - \frac{1}{2} k_s + \tau_{ik} k_s - \Delta T_{i,k} + \Delta T_{i,k}' - \\ - \Delta T_{i+1,k} + \Delta T_{i+1,k}'$$

$$E_{i,k+1} = E_{i,k} + 2\tau_{ik}(k_s - k_T) - \Delta T_{i,k} + \Delta T_{i,k}' - \\ - \Delta T_{i+1,k} + \Delta T_{i+1,k}'$$

Nyní zavedeme zjednodušující předpoklad, že $\Delta T_{i,k}$ a $\Delta T_{i+1,k}$ jsou stejné, jako jsou stejné i $\Delta T_{i,k}'$ a $\Delta T_{i+1,k}'$.

Potom se hodnoty shodí výrazu a získáme matematický model jako v 5.1. Stejně dojde k vyuření, když budou shodné hodnoty $\Delta T_{i,k}$ a $\Delta T_{i,k}'$ a $\Delta T_{i+1,k}$ a $\Delta T_{i+1,k}'$.

Pokud uvažujeme, že $\Delta T_{i,k}$ a $\Delta T_{i+1,k}$ a zároveň $\Delta T_{i,k}'$ a $\Delta T_{i+1,k}'$ jsou stejné, můžeme nahradit výraz

$$-\Delta T_{i,k} + \Delta T_{i,k}' - \Delta T_{i+1,k} + \Delta T_{i+1,k}'$$

$$\text{výrazem } \Delta_{i,k} = 2(\Delta T_{\text{SPODNÍ}} - \Delta T_{\text{HORNÍ}})$$

Matematický model potom je:

$$E_{i,k+1} = E_{i,k} + 2\tau_{ik}(k_s - k_T) + \Delta_{i,k}$$

6. Návrh číslicového regulátoru pro řízení regenerátoru metodou minimalizace kvadratického kritéria

6.1 Obecná část

Matematický model soustavy, odvozený v předchozí části, je $E_{i,k+1} = E_{i,k} + 2T_{i,k}(k_s - k_r)$. Z tohoto matematického modelu se vychází při návrhu číslicového regulátoru. Regulovaná soustava se reguluje tak, aby rozdíl teplot středů dvojic regenerátorů byl na žádané hodnotě, tzn. $E_{i,k} = T_{i,k} - T_{i+1,k} = w_{i,k}$. Diferenční rovnice našeho matematického modelu je $E_{i,k+1} = E_{i,k} + 2T_{i,k}(k_s - k_r)$.

Vycházíme z metody spracování Eng. Srobohou ve zprávě "Číslicové řízení spojitych technologických procesů".

Vycházíme z obecné diferenciální rovnice popisující proces

$$y(k) = \sum_{i=0}^m A_i y(k-i) + \sum_{j=0}^n B_j u(k-j)$$

Ozolem syntézy je nalézt stabilní strategii řízení

$$u(k) = Lx(k)$$

kde $x(k)$ stav řízeného systému

L vektor konstant

$u(k)$ strategie řízení

která minimalizuje kritérium

$$J_N = \sum_{k=1}^N [y^T(k) Q_y y(k) + u^T(k) Q_u u(k)]$$

Jako stabilizační člen použijeme $x^T(N+1)Qx(N+1)$
Při minimalizaci kritéria J_N získáme J_N^*

$$J_N^* = \min_{u(1) \dots u(N)} J_N$$

a optimální řízení počítáme rekursivně z obecného tvaru
Bellmanova rovnice

$$J_N^* = \min_{u(k)} [y^T(k)Q_y y(k) + u^T(k)Q_u u(k) + \\ + x^T(k+1)P(k+1)x(k+1)]$$

$P(k)$ se vypočítá z Riccatiho rovnice

$$P(k) = Q_y - A^T P(k+1)B [B^T P(k+1)B + Q_u]^{-1} \cdot \\ \cdot B^T P(k+1)A + A^T P(k+1)A$$

Pomocí této rovnice najdeme hodnotu P , kterou dosadíme do výrazu pro hodnotu L a tím je regulátor určen.

$$L = [B^T P B + Q_u]^{-1} B P A$$

V našem případě vycházíme tedy z matematického modelu
 $E_{k+1} = E_{k,k} + 2\tau_{ik}(k_s - k_r)$,
který porovnáváme s obecnou diferenční rovnicí a tím získáme konstanty

$$E_{k+1} = a_0 E_k + b_0 u_k$$

$$a_0 = 1$$

$$b_0 = 2(\bar{k}_s - \bar{k}_r)$$

$$u_k = \tau_{ik}$$

Představujeme se soustavou 1. řádu, které náleží jeden stav,
a proto výstup $E(k)$ můžeme volit jako stavovou veličinu.
Pak rovnici $u(k) = Lx(k)$

kde $x(k)$ je stavová veličina, přepísané na tvar

$$T_{n,k} = L E(k)$$

Dále tedy hledáme stabilní strategii řízení

$$T_{n,k} = L E(k)$$

kde L je hledaný vektor konstant.

Nyní budeme minimalizovat kritérium

$$J_N = \sum_{k=1}^N [y^*(k) Q_y y(k) + u^*(k) Q_u u(k)] = \\ = \sum_{k=1}^N q_E E_k^2 + q_u u_k^2$$

Minimalizujeme-li kritérium J_N dostaváme

$$J_N^* = \min_{u(1) \dots u(N)} J_N = \min_{u_k} (q_E E_k^2 + q_u u_k^2 + J_{N+1}^*),$$

kde q_u je penalizační člen, jehož vhodnou volbou se při regulačním pochodu může utlumit a to tak, že rozdíl se nevypořádá najednou, ale postupně se utlumí v několika krocích. Nejvhodnější hodnota q_u se zjistí v praxi při odskoušení na zařízení.

$$J_N^* = \min_{u_k} (q_E E_k^2 + q_u u_k^2 + J_{N+1}^*)$$

Člen J_{N+1}^* vyjadřuje v této rovnici stabilizační člen, pro který platí $J_{N+1}^* = E_{k+1} P_{k+1} E_{k+1}$

kde P_{k+1} je sílo, které lze určit z Riccatiho rovnice

$$P_{k+1} = q_E - a_0 P_{k+2} b_0 [b_0 P_{k+2} b_0 + q_u]^{-1} b_0 P_{k+2} a_0 + \\ + a_0 P_{k+2} a_0$$

- 48 -

Tuto rekurentní rovnici budeme podstavat při použití těchto zvolených hodnot: $q_E = 1$

$$P_N = 1$$

$$q_{u_1} = 0; q_{u_2} = 1$$

a těchto vypočítaných hodnot: $a_0 = 1$

$$b_0 = 2(k_s - k_r)$$

My počítáme pouze s těmito dvěma hodnotami q_u . Je ale možné, že v praxi by lépe vyhovovaly jiné hodnoty, neboť by 16-počtemily knity regulačního pochodu. To by se nejlépe určilo odskoušením na zařízení.

Konstantu L určíme ze vztahu $L = (b_0 P b_0 + q_u)^{-1} b_0 P a_0$.

Tuto hodnotu dosadíme do rovnice $u(k) = L E(k)$

kde $u(k) = T_{n,k}$

L - vypočtená konstanta

$$E(k) = w_{n,k}$$

~~Rekurentní rovnice ještě nesplňuje podle nových hodnot~~

$$T_{n,k} = L w_{n,k}$$

6.2 Výpočet číslicového regulátoru

Cílem tohoto výpočtu je určit konstantu L a tím určit číslicový regulátor. Tuto konstantu L určujeme ze vztažu $L = (b_0 P b_0 + q_m)^{-1} b_0 P a_0$, kde P zjistujeme z Riccatiho rovnice.

$$P_k = q_E - a_0 P_{k+1} b_0 [b_0 P_{k+1} b_0 + q_m]^{-1} b_0 P_{k+1} a_0 + a_0 P_{k+1} a_0$$

1. Nejdříve uvažujeme $q_m = 0$, ostatní hodnoty používány při výpočtu jsou: $q_E = 1$

$$b_0 = 2(k_s - k_f)$$

$$\cdot 1$$

Hledáme hodnotu, kterou má konstanta P hodnota P .

$$P = q_E - a_0 P b_0 (b_0 P)^{-1} = a_0^2 P$$

$$P = q_E - \frac{a_0^2 P^2 b_0^2}{P b_0^2} + a_0^2 P$$

$$P = q_E - a_0^2 P + a_0^2 P$$

$$P = q_E$$

$$P = 1$$

$$L = \frac{b_0 P a_0}{b_0^2 P}$$

$$L = \frac{1}{b_0} \cdot \frac{1}{2(k_s - k_f)}$$

Rovnice, podle které se bude řídit regulátor je následující:

$$\text{eis: } T_{i,k} = \frac{1}{b_0} w_{i,k}$$

2. Druhý výpočet provádime pro $q_{w_1} = 1$, ostatní hodnoty zůstávají stejné jako v prvním případě.

Opět hledáme hodnotu, k níž konverguje P

$$P = q_E - a_0 P b_0 (b_0^2 P + 1)^{-1} b_0 P a_0 + a_0^2 P$$

$$P = 1 - \frac{P^2 b_0^2}{b_0^2 P + 1} + P$$

$$b_0^2 P^2 - b_0^2 P - 1 = 0$$

$$P_{1,2} = \frac{b_0^2 \pm \sqrt{b_0^4 + 4b_0^2}}{2b_0^2} = \frac{1}{2b_0} (b_0 \pm \sqrt{b_0^2 + 4})$$

$$\text{kde } b_0 = 2(k_s - k_T)$$

P může nabývat jen kladných hodnot, proto zápornou hodnotu výrazu neuvažujeme.

$$P = \frac{1}{2b_0} (b_0 - \sqrt{b_0^2 + 4}) \quad \text{neboť } b_0 < 0$$

$$L = \frac{b_0 (b_0 - \sqrt{b_0^2 + 4})}{b_0^2 (b_0 - \sqrt{b_0^2 + 4}) + 1}$$

Rovnice pro řízení regulátoru je:

$$T_{i,k} = \frac{b_0 (b_0 - \sqrt{b_0^2 + 4})}{b_0^2 (b_0 - \sqrt{b_0^2 + 4}) + 1} w_{i,k}$$

7. Ověření navrženého regulátoru simulací na číslicovém
počítači

Ověření navrženého regulátoru simulací na číslicovém počítači nebylo možné provést, neboť naměřené hodnoty, které byly k disposici z Centrální kyslíkárny, nebyly vhodné pro ověření navrženého regulátoru.

8. Závěr

Úkolem této diplomové práce bylo popsat regenerátor matematickým modelem a navrhnut číslicový regulátor pro řízení regenerátoru metodou minimalizace kvadratického kritéria.

Při popisu regenerátoru matematickým modelem jsem navrhla tři jednoduché modely, které se liší tím, zda se bere v úvahu nedorekuperace a dopravní spoždění. Pokud se tyto zjednodušené matematické modely v praxi neosvědčí, je nutné hledat složitější modely. Při návrhu číslicového regulátoru jsem spočítala akční zásah $T_{i,k}$, podle něhož se bude regulovat teplota zkrácením nebo prodloužením jednotlivých částí cyklu. Pokud je třeba, aby rozdíl teplot středů regenerátorů u jednotlivých dvojic byl větší, tzn. aby se zvýšila zádaná hodnota, první část cyklu se zkrátí a druhá prodlouží.

Na závěr bych chtěla poděkovat Ing. Svebodovi z VŠST Liberec a Ing. Kotvovi z Feroru Děčín za cenné rady a materiál, který mi poskytli při řešení diplomové práce.

Seznam použité literatury

1. J. Svoboda: Číslicové řízení spojitych technologickych
procesů

/Výzkumná zpráva KTK-0063, VŠST Liberec/

2. J. Kotva: Zařízení na dělení vzduchu s řídícím počí-
tačem - tvorba algoritmů

/Výzkumná zpráva - KT 2059a, Ferox Děčín,
1978/

3. J. Kotva: Provozní předpis ASŘ TP CKO

/Výzkumná zpráva - KT 2266, Ferox Děčín/

4. J. Blatný a kol.: Číslicové počítače

Diplomovou práci s. Alexandry Jirholcové
„Algoritmus optimálního součinního stávající číslicové řešení
ve dvojicích reprezenter“
kategorie základní vzdělávání •

• 22.6.97
MUDr. Jan Svoboda, Mgr.

30.5.1997

Diplomovou práci s. Alexandry Drholcové

"Algoritmus optimálního seřízení stávající číselcové regulace
ve dvojicích regenerátorů"
hudnotním známkou v e l m i d o b ž e .

Ing. Jiří Svoboda, ČSC.

30.5.1983

Diplomacou práci s. Alexandry Drhovcové
"Algorytmus optimálního seřízení stávající číselcové regulace
ve dvoujích regenerátorů"
hodnotím zadání v celosti výše.

Ing. Jiří Svoboda / UOe.

30.5.1983

HODNOCENÍ DIPLOMOVÉ PRÁCE s. Alexandry Drholecové
"Algoritmus optimálního seřízení stávající číslicové regulace
ve dvojicích regenerátorů"

Diplomová práce se zabývá aktuální problematikou - návrhem číslicového řízení technologického procesu.

Úkolem práce bylo navrhnut číslicový regulátor, který by umožňoval automatickou regulaci přepínacích cyklů regenerátoru. Před vlastním návrhem regulátoru bylo nutno provést analýzu chodu regenerátoru a popsat jej pokud možno jednoduchým matematickým modelem.

Diplomantka se v počátečních fázích řešení úkolu poněkud hůře orientovala v problematice. Její seznamování s provozem regenerátoru bylo těžkopádné a unikaly jí některé souvislosti mezi matematickým popisem technologického procesu a metodami syntézy číslicového regulátoru.

Po uvedení do problematiky a naznačení směru řešení popsal diplomantka činnost regenerátoru několika typy modelů a provedla návrh identifikace parametrů modelu regenerátoru. Pro uvedený model navrhla několik variant regulátoru.

Na závěr diplomantka provedla ověření možnosti průběžné identifikace parametrů modelu. Vzhledem ke složitější funkci regenerátorů jako celku nebylo prováděno ověřování řídících algoritmů.

Diplomantka tedy splnila zadání diplomové práce. Během studia patřila diplomantka k průměrným studentům.

Doporučuji práci k obhajobě.

Svoboda
Ing. Jiří Svoboda, CSc.

Oponentní posudek diplomové práce s. Alexandry

MUOLCOVÉ pod názvem

"Algoritmus optimálního seřízení stavající číslicové regulače
ve dvojicích regenerátorů"

Diplomová práce obsahuje celkem 53 stran.

K práci má následující připomínky:

1. V úvodu není naznačen úvod do řešené konkrétní problematiky.
2. V kapitole 3. je řada logických i věcných nedostatků. Není v pořádku terminologie, která někdy dělá dojem doslovného překladu bez znalosti věci. Např. "obrazovková stanice", "průměnová měřící a regulační stanice HP 9611R".
3. V kap. 4 str. 11 jsou nesprávně uvedeny časové údaje. Akoce ČKO včetně Řešení ASŘTP je ukončeno a další práce týkající se MUKA VÚLZ dobrá nebudou prováděny.
4. V kap. 4 str. 17. Tvrzení o obr. 4 je nesprávné a je převzato z jiné aplikace. Totéž se týká obr. 5. Průběhy dle obr. 4 a 5 se vyskytovaly u regenerátorů z ~~ak~~ implin, což nemí případ ČKO Ostrava. Není známo, co se myslí pojmem "rychlý teploměr". Není správné používat označení jako "normál" u obr. 4.
5. Grafická úprava popisu obrázků je pro diplomovou práci nedostatečná a neodpovídá ani formátu. Obvykle se používá pod obrázkem napříkladně: obr. 3 Schéma zapojení ČKO.
6. Kap. 4.3 Začáteční věty nedávají vůbec smysl. Regenerátory jsou zde nejprve označovány jako "dělící bloky", potom "výměník", potom "regenerátor" a nakonec opět "výměník".
7. Str. 24. Zdůvodnění vyrovnání tlaků při přepínání nemí správné. Vyrovnaní tlaků se provádí z důvodů ekonomických (využití částečného vzdutí).
8. Seznam veličin a označení má být usporádán abecedně s uvedením jednotek a na jednom označeném místě. Roztroušení v textu nemí přehledné.
9. Až do strany 33 se jedná o převzaty a někdy nesprávně uvedený popis skutečného stavu.

Závěr. Přes uvedené výhrady lze práci přijmout. Je nutno jeho konstatovat, že prvních cca 30 stran textu je téměř identických, včetně obrázků s prací S. Moniky Velšíkové, kterou předložila práci na téma "Mávrh algoritmu optimální číslicové regulačce vstupních klapek vzduchu pro tři páry regenerativního výhřívání tepla".

Akceptované práce : dobré.

V Děčíně dne 15. 6. 1983

Ing. Blaža Ladislav,

